



# 一维链状配位聚合物 $\{[p\text{-FBzIPh}_3\text{P}]^+[\text{ZnCl}_2(\text{NA})]^- \}_n$ 的合成与晶体结构

陈冠凡<sup>1,2</sup> 曹晨忠<sup>\*2</sup>

(<sup>1</sup> 中南大学化学化工学院, 长沙 410012)

(<sup>2</sup> 湖南科技大学化学化工学院, 湘潭 411201)

关键词: 锌配合物; 一维链状结构; 水热合成; 荧光性质

中图分类号: O614.24<sup>+1</sup> 文献标识码: A 文章编号: 1001-4861(2008)04-0649-04

## Synthesis and Crystal Structure of a 1D Coordination Polymer $\{[p\text{-FBzIPh}_3\text{P}]^+[\text{ZnCl}_2(\text{NA})]^- \}_n$ ( $\text{NA}=\text{nicotinic acid}$ )

CHEN Guan-Fan<sup>1,2</sup> CAO Chen-Zhong<sup>\*2</sup>

(<sup>1</sup>School of Chemistry and Chemical Engineering, Central South University, Changsha 410083)

(<sup>2</sup>School of Chemistry and Chemical Engineering, Hunan University of Science and Technology, Xiangtan, Hunan 411201)

**Abstract:** A metal-organic coordination polymer,  $\{[p\text{-FBzIPh}_3\text{P}]^+[\text{ZnCl}_2(\text{NA})]^- \}_n$  (**1**) ( $\text{NA}=\text{nicotinic acid}$ ), has been hydrothermally synthesized and characterized by IR, UV-Vis, TG analysis, elemental analysis, fluorescence analysis and single crystal structure determination. Compound **1** crystallizes in the monoclinic system, space group  $P2_1/n$ ,  $a=0.983\ 6(3)\ \text{nm}$ ,  $b=2.567\ 0(7)\ \text{nm}$ ,  $c=1.133\ 4(3)\ \text{nm}$ ,  $\beta=94.46^\circ$ ,  $V=2.853\ 0(14)\ \text{nm}^3$ ,  $Z=4$ ,  $R_1=0.049\ 3$ ,  $wR_2=0.126\ 5$  and  $S=1.037$ . The structure of compound **1** features as novel one-dimensional structure, and interestingly, the  $[p\text{-FBzIPh}_3\text{P}]^+$  counter-cations alternately reside both sides of the one-dimensional anionic chains of the zigzag-chain polymer, and the supermolecule is formed by intermolecular weak hydrogen bond. Compound **1** exhibits strong fluorescence in solid state at room temperature. CCDC: 664276.

**Key words:** zinc(II) complexes; one-dimensional catenary structure; hydrothermal synthesis; fluorescent property

“模板效应”(template effect)是由 Tompson 等人<sup>[1]</sup>于 20 世纪 60 年代初首先提出的。所谓模板效应是指由于配体与模板试剂配位而改变电子状态, 并取得某种特定空间配置的效应。最初的模板试剂是指金属离子, 20 世纪 80 年代科学家们发现有些中性分子也具有模板效应。随着近年来超分子化学的兴起和发展, 以及有机化学和无机化学更进一步的交叉, 模板试剂越来越多元化, 一些结构新颖的超分子聚合物被合成出来<sup>[2~6]</sup>。𬭸根离子作为一种特

殊的金属离子, 近年来倍受研究者的青睐。Newcomb 等<sup>[7]</sup>人用季𬭸盐合成得到了具有空洞结构的配合物  $[\text{Ph}_3\text{BzI}\text{P}][\text{Sn}_2\text{Cl}_2(\text{C}_8\text{H}_{16})_3\cdot\text{Cl}]$ 。戴劲草课题组先后得到了三维(3D)聚合物  $\{[\text{Ph}_3\text{PCH}_2\text{Ph}][\text{Cd}(\text{tp})\text{Cl}]\cdot2\text{H}_2\text{O}\}_n$ <sup>[8]</sup> 和二维(2D)网状聚合物  $[\text{Ph}_3\text{PCH}_2\text{Ph}]_2[\text{Zn}_3(\text{tp})_3\text{Cl}_2]$ <sup>[9]</sup>。

在本文中, 我们使用烟酸和 4-氟苄基三苯基氯化𬭸作为配体与二水醋酸锌反应合成了一个一维(1D)Zn 配合物  $\{[p\text{-FBzIPh}_3\text{P}]^+[\text{ZnCl}_2(\text{NA})]^- \}_n$ , 用 IR 和元素分析对配合物进行了表征, 用 X-射线单晶衍射测

收稿日期: 2007-10-22。收修改稿日期: 2008-02-26。

国家自然科学基金项目(No.20472019, 20772028), 湖南省自然科学基金项目(No.06JJ2002), 湖南省“十一五”重点学科项目资助。

\*通讯联系人。E-mail: czcao@hnust.edu.cn

第一作者: 陈冠凡, 男, 29 岁, 讲师, 研究方向: 有机合成和配位化学。

定了该配合物的单晶结构，并对配合物的荧光性质进行了研究。

## 1 实验部分

### 1.1 试剂和仪器

4-氟苄基三苯基氯化𬭸按文献<sup>[10]</sup>自制，其余化合物均为分析纯。IR用PE2000型FTIR红外光谱仪(KBr压片,4000~450 cm<sup>-1</sup>)测定。元素分析用Perkin-Elmer 2400 CHNS/O元素分析仪测定。晶体结构用Bruker Smart Apex型单晶衍射仪测定。热重分析用WCT-1A微机差热天平。荧光用Hitachi F4500测定仪测定。

### 1.2 配合物的合成

将5.0 mmol Zn(CH<sub>3</sub>CO)<sub>2</sub>·2H<sub>2</sub>O,5.0 mmol烟酸,5.0 mmol 4-氟苄基三苯基氯化𬭸和12 mL水混合,加入到20 mL的水热高压釜内,于160 °C恒温反应72 h,然后以10 °C·h<sup>-1</sup>的冷却速度降至室温,得到无色晶体。元素分析(按C<sub>31</sub>H<sub>25</sub>Cl<sub>2</sub>FNO<sub>2</sub>PZn计算,括号内为计算值, %): C 58.98 (59.07), H 4.02 (3.97), N 2.26 (2.22)。IR主要吸收峰( $\nu/\text{cm}^{-1}$ )为: 3 057(s), 2 944(m), 2 907(m), 1 628(vs), 1 508(vs), 1 363(vs), 1 157(s), 1 109(vs), 1 049(m), 843(s), 747(s), 717(m), 689(s), 552(m), 511(s), 490(m)。

表1 配合物{[p-FBzIPh<sub>3</sub>P]<sup>+</sup>[ZnCl<sub>2</sub>(NA)]<sup>-</sup>}<sub>n</sub>的晶体数据及结构修正数据

Table 1 Crystal data and structure refinement for {[p-FBzIPh<sub>3</sub>P]<sup>+</sup>[ZnCl<sub>2</sub>(NA)]<sup>-</sup>}<sub>n</sub>

Experical formula	C <sub>31</sub> H <sub>25</sub> Cl <sub>2</sub> FNO <sub>2</sub> PZn	Absorption coefficient / mm <sup>-1</sup>	1.14
Formula weight	629.76	F(000)	1 288
Temperature / K	298(2)	Crystal size / mm	0.50 × 0.24 × 0.20
Wavelength / nm	0.071 073	θ range / (°)	1.59~27.83
Crystal system	Monoclinic	Limiting indices	-12 ≤ h ≤ 12, -33 ≤ k ≤ 30, -12 ≤ l ≤ 14
Space group	P2 <sub>1</sub> /n	Reflections collected	6 372
a / nm	0.983 6(3)	Independent reflections	3 372
b / nm	2.567 0(7)	Max. and min. transmission	0.8, 0.726
c / nm	1.133 4(3)	Data / restraints / parameters	6 372 / 0 / 352
β / (°)	94.461(2)	Goodness-of-fit on $F^2$	1.037
Volume / nm <sup>3</sup>	2.853 0(14)	Final R indices [ $I>2\sigma(I)$ ]	R <sub>1</sub> =0.049 3, wR <sub>2</sub> =0.126 5
Z	4	Largest diff. peak and hole / (e·nm <sup>-3</sup> )	1 092 and -1595
$D_e$ / (Mg·m <sup>-3</sup> )	1.466		

表2 {[p-FBzIPh<sub>3</sub>P]<sup>+</sup>[ZnCl<sub>2</sub>(NA)]<sup>-</sup>}<sub>n</sub>部分的键长和键角

Table 2 Selected bond lengths (nm) and angles (°) the coordination polymer

Zn1-O1	0.196 4(3)	Zn1-N1	0.208 3(3)	Zn1-Cl2	0.224 4(15)
Zn1-Cl1	0.224 0(12)	P1-C7	0.181 9(4)	P1-C20	0.179 6(3)
P1-C14	0.179 0(5)	P1-C26	0.178 1(4)		

### 1.3 晶体结构的测定

选取尺寸为0.50 mm × 0.24 mm × 0.20 mm的单晶,用Bruker Smart Apex CCD单晶衍射仪,在298(2) K下用Mo K $\alpha$ 射线( $\lambda=0.71073 \text{ nm}$ ),以 $\omega$ 扫描形式在 $1.59^\circ \leq \theta \leq 27.83^\circ$ 范围内共收集到25 417个衍射,其中独立衍射6 372个( $R_{\text{int}}=0.0641$ ), $I>\sigma(I)$ 的可观测衍射3 372个。晶体结构由直接法解出,部分非氢原子坐标经多次差值Fourier合成得到。所有非氢原子坐标和热参数由全矩阵最小二乘法修正。理论加氢,氢原子未参与结构修正。最终一致性因子为 $R_1=0.0493$ , $wR_2=0.1265$ [对 $I>2\sigma(I)$ 的衍射点],差值Fourier图中最大和最小残余电子密度峰值分别为1 092 e·nm<sup>-3</sup>和-1 595 e·nm<sup>-3</sup>。结构解析和修正分别使用SHELXS-97<sup>[11]</sup>和SHELXL-97程序<sup>[12]</sup>完成。

CCDC:664276。

## 2 结果与讨论

### 2.1 配合物的晶体结构

配合物{[p-FBzIPh<sub>3</sub>P]<sup>+</sup>[ZnCl<sub>2</sub>(NA)]<sup>-</sup>}<sub>n</sub>的晶体学数据及结构修正数据在表1列出,主要的键长和键角在表2中列出。

在配合物{[p-FBzIPh<sub>3</sub>P]<sup>+</sup>[ZnCl<sub>2</sub>(NA)]<sup>-</sup>}<sub>n</sub>中,中心

续表2

O1-Zn1-N1	99.44(14)	O1-Zn1-Cl2	117.75(11)	N1-Zn1-Cl2	102.66(12)
O1-Zn1-Cl1	117.41(11)	N1-Zn1-Cl1	100.37(10)	Cl2-Zn1-Cl1	114.53(5)
C7-P1-C14	109.7(2)	C7-P1-C20	109.13(17)	C7-P1-C26	111.3(2)
C14-P1-C20	108.6(2)	C14-P1-C26	109.4(2)	C20-P1-C26	108.67(18)
C7-C8-C9	120.1(4)	C7-C8-C13	120.0(5)	C10-C11-F1	117.4(6)
C12-C11-F1	119.5(5)				

Symmetry transformations used to generate equivalent atoms: #1:  $1/2+x, 1/2-y, -1/2+z$ ; #2:  $-1/2+x, 1/2-y, 1/2+z$ .

金属离子 Zn 的配位环境如图 1 所示, 中心离子 Zn 分别跟 2 个 Cl 原子、1 个 N 原子和 1 个 O 原子配位形成四面体结构, 其中 2 个 Cl 原子来自 4-氟苯基三苯基氯化𬭸中的氯离子, 而 N 原子和 O 原子分别来自 2 个不同烟酸分子中羧酸根的 O 原子和吡啶环上的 N 原子。与 Zn 配位的原子所形成的键角中,  $\angle \text{O1-Zn1-N1}=99.44^\circ$ ,  $\angle \text{N1-Zn1-Cl2}=102.66^\circ$ ,  $\angle \text{O1-Zn1-Cl2}=117.75^\circ$ ,  $\angle \text{O1-Zn1-Cl1}=117.41^\circ$ , 这些键角均严重偏离  $108^\circ$ , 因此以 Zn 离子为中心的四面体严重扭曲。配体烟酸作为二齿配体分别与 2 个

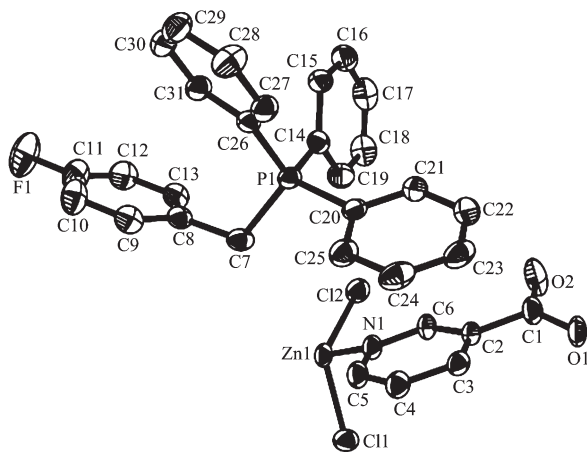
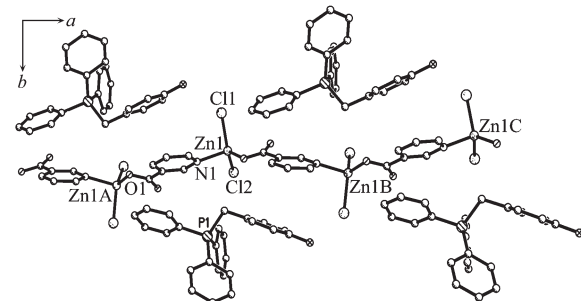


图 1 配位聚合物的独立单元结构(椭球概率为 30%, 氢原子被省略)

Fig.1 Independent unit of the title coordination polymer (displacement ellipsoids shown at the 30% probability level, and hydrogen atoms are omitted for clarity)

Zn 原子相连, 从而形成一维锯齿形阴离子链状结构, 同时 $[p\text{-FBzlPh}_3\text{P}]^+$ 作为抗衡阳离子错位排布在一维链的两边(如图 2 所示)。抗衡阳离子中, 中心离子 P 连接 4 个碳原子(C7,C14,C20 和 C26), 所有的键角均在  $108.6^\circ\sim111.3^\circ$  范围内, 键长范围为  $0.178\text{~nm}\sim0.1819\text{~nm}$ , 形成一个略微扭曲的四面体结构。

由分子的一维链状图(图 2)和氢键表(表 3)可知, 每个 $[\text{ZnCl}_2(\text{NA})]^-$ 与 1 个抗衡阳离子 $[p\text{-FBzlPh}_3\text{P}]^+$ 以静电引力结合成分子。其中季𬭸盐中的苯环上 C9,C23,C25,C29 所连的氢原子, 与一维锯齿状阴离子链中配位的 2 个氯原子形成弱分子间氢键, 平均键长  $0.2794\text{~nm}$ , 键角范围  $130.45^\circ\sim157.36^\circ$ , 从而整个分子通过盐键及弱分子间氢键相互作用形成超分子化合物。



Codes: A:  $-1/2+x, 1/2-y, 1/2+z$ , B:  $1/2+x, 1/2-y, 1/2+z$ , C:  $1+x, y, -1+z$

图 2 标题配位聚合物的一维链状图

Fig.2 View of the one-dimensional layer of the title coordination polymer

表 3 标题配位聚合物的氢键键长和键角

Table 3 Hydrogen bond for the title coordination polymer

Donor-H $\cdots$ Acceptor	D-H / nm	H $\cdots$ A / nm	D $\cdots$ A / nm	D-H $\cdots$ A(°)
C9-H9A $\cdots$ Cl1 <sup>a</sup>	0.096	0.282 5	0.373 0	157.36
C23-H23A $\cdots$ Cl2 <sup>b</sup>	0.096	0.278 6	0.362 1	146.00
C25-H25A $\cdots$ Cl1 <sup>a</sup>	0.096	0.273 6	0.357 7	150.89
C29-H29A $\cdots$ Cl1 <sup>c</sup>	0.096	0.282 8	0.352 8	130.45

Symmetry codes: <sup>a</sup>  $-1/2+x, 1/2-y, -1/2+z$ ; <sup>b</sup>  $-1+x, y, z$ ; <sup>c</sup>  $3/2-x, -1/2+y, 1/2-z$ .

## 2.2 热重分析

配合物 $\{[p\text{-FBzI}Ph_3P]^+ [ZnCl_2(NA)]^-\}_n$ 的热重分析在室温至800℃区间进行,配合物从363℃开始失重,到595℃共失重87.9%,与该配合物分子中完全失去2个氯离子,烟酸根和 $[p\text{-FBzI}Ph_3P]^+$ 相对应(计算值86.9%),说明此时配合物已完全分解。残留量12.1%,最终残余物为ZnO(calcd:13.0%)。

## 2.3 配合物的光谱性质

在自由配体烟酸中, $\nu_s(CO_2^-)$ 红外吸收位于1709 cm<sup>-1</sup>,而形成配合物后,吸收峰红移到1628 cm<sup>-1</sup>,同时在1363 cm<sup>-1</sup>出现的 $\nu_{as}(CO_2^-)$ 振动特征峰,说明配体中的羧基参与配位。配合物中苯环和吡啶环的特征吸收峰位于3058和1508 cm<sup>-1</sup>处。在自由配体4-氟苄基三苯基氯化𬭸中,P-C的伸缩振动吸收峰位于742,717,690 cm<sup>-1</sup>,而形成配合物后,吸收峰分别位于747,717和689 cm<sup>-1</sup>,几乎没有发生位移,说明在配合物中,𬭸根离子是以抗衡阳离子的形式参与到配合物中。

在室温下,我们对配合物的固体进行了荧光研

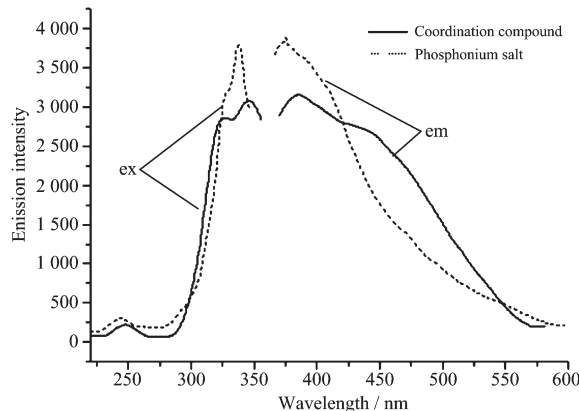


图3 室温下配合物 $\{[p\text{-FBzI}Ph_3P]^+ [ZnCl_2(NA)]^-\}_n$ 和配体 $p\text{-FBzI}Ph_3PCl$ 的荧光光谱

Fig.3 Fluorescent spectra of  $\{[p\text{-FBzI}Ph_3P]^+ [ZnCl_2(NA)]^-\}_n$  and  $p\text{-FBzI}Ph_3PCl$  in solid state at room temperature

究(如图3所示)。发现在348 nm的激发下,配合物在385 nm有最大的荧光发射,而4-氟苄基三苯基氯化𬭸在338 nm激发波长下,在367 nm附近出现最大的荧光峰;说明配合物的荧光主要是由大的抗衡阳离子 $[p\text{-FBzI}Ph_3P]^+$ 产生的<sup>[8]</sup>。

致谢:感谢禹良才博士提供晶体数据测试。

## 参考文献:

- [1] Thompson M C, Busch D H. *J. Am. Chem. Soc.*, **1962**, *84*: 1762~1763
- [2] Lopez S, Kahraman M, Harmata M, et al. *Inorg. Chem.*, **1997**, *36*: 6138~6140
- [3] Yaghi O M, Davis C E, Li G M, et al. *J. Am. Chem. Soc.*, **1997**, *119*: 2861~2868
- [4] Fujita M, Kwon Y J, Washizu S, et al. *J. Am. Chem. Soc.*, **1994**, *116*: 1151~1152
- [5] YAN Xing(邢艳), DING Hong(丁红), LI Guang-Hua(李光华), et al. *Chinese J. Inorg. Chem. (Wuji Huaxue Xuebao)*, **2003**, *19*(8): 853~856
- [6] Cingolani A, Galli S, Masciocchi N, et al. *J. Am. Chem. Soc.*, **2005**, *127*: 6144~6145
- [7] Newcomb M, Horner J H, Blanda M T, et al. *J. Am. Chem. Soc.*, **1989**, *111*: 6294~6301
- [8] Dai J C, Wu X T, Fu Z Y, et al. *Chem. Comm.*, **2002**, *12*: 12~13
- [9] Yang G D, Dai J C, Lian Y X, et al. *Inorg. Chem.*, **2007**, *46*: 7910~7916
- [10] Shi M, Xu B. *J. Org. Chem.*, **2002**, *67*: 294~297
- [11] Sheldrick G M. *SHELXS-97, Program for Crystal Structure Solution*, University of Göttingen, Göttingen, Germany, 1997.
- [12] Sheldrick G M. *SHELXL-97, Program for Crystal Structure Refinement*, University of Göttingen, Göttingen, Germany, 1997.